

長崎大學 正員 素池恒夫
； 學生員 ○高橋英俊

まえがき 初期曲率 カジレ率を有する立体曲線はりの振動解析は、従来中実断面に限られ、しかも断面寸法が曲率半径に比較して小さいものは対象であった。筆者の一人は先にガレキン法を用いて薄肉断面を有するらせんはりの振動解析を行なったが¹⁾、多スパン連続はり又は変断面はりなどより一般的な立体曲線はりの振動解析には有限要素法が有効である。ここでは初期曲率、カジレ率がはり長さ方向に一定な薄肉断面を有する立体曲線はりの振動解析法を示すとともに、応用例としてH型断面を有するらせんはりの振動解析を行なう。

2 刚性方程式 図1にうせんはりの座標軸および節点位置を示す。節点変位は、図心の s_1, s_2 方向変位 u_1, u_2 、断面回転角 θ 、 s_1, s_2 軸まわりの捻り角 ϕ_1, ϕ_2 、 s_2 軸に関するねじれ角 ψ である。節点力としては、はり全体に分布している慣性力と等価な力を各節点で考える。

断面の代表寸法を a 、1スパンの長さを s とし、節点変位を無次元化する。

$$\bar{U} = \frac{u}{a}, \quad \bar{V} = \frac{v}{a}, \quad \bar{W} = \frac{w}{a}, \quad \bar{\theta} = \theta, \quad \bar{P}_u = \frac{P_u}{a}, \quad \bar{P}_v = \frac{P_v}{a}$$

$$\bar{P}_0 = P_0 \ell, \quad L = g/\ell, \quad \bar{\alpha} = g/\ell, \quad \alpha = \ell g/\ell. \quad \text{[要素長さの定義]} \quad \text{[要素長さの定義]}$$

$\bar{U}, \bar{V}, \bar{\theta}, \bar{W}$ を次のように L のべき級数で仮定する。

$$\bar{Q} = a_0 + a_1 L + a_2 L^2 + a_3 L^3, \quad \bar{V} = b_0 + b_1 L + b_2 L^2 + b_3 L^3$$

(1) 式の係数 $a_0, a_1, \dots, d_0, d_1$ は節点 i ($L=0$), j ($L=\alpha$) での変位によつて次のように表わされる。

$$\mathcal{A} = \mathcal{H}\mathcal{H}^\dagger \quad \dots \dots \dots \quad (2)$$

$$\text{因此, } \boldsymbol{\theta} = \{\theta_0, \theta_1, \theta_2, \dots, d_0, d_1\}^T, \quad \boldsymbol{U} = \{\bar{U}^i \bar{P}_u^i \bar{V}^i \bar{P}_v^i \bar{\theta}^i \bar{P}_\theta^i \bar{W}^i \bar{U}^j \bar{P}_u^j \bar{V}^j \bar{P}_v^j \bar{\theta}^j \bar{P}_\theta^j \bar{W}^j\}^T$$

H は無次元化された初期曲率重みを含んだ(14×14)のマトリックスである

節点力 \bar{F} が作用している立体曲線はり要素に対する仮想仕事の原理は次のように書ける:

$$\delta U^T F = \int_0^t [\frac{\bar{v}}{\alpha} \bar{F}_w \bar{\delta F}_w + \bar{F}_S \bar{\Omega}_w \bar{\delta \Omega}_w + \bar{F}_{\omega} \bar{\Omega}_v \bar{\delta \Omega}_v + \bar{F}_{\omega} \bar{\Omega}_e \bar{\delta \Omega}_e - \bar{N}_g \bar{\alpha} (\bar{F}_w \bar{\delta \Omega}_w + \bar{\Omega}_w \bar{\delta F}_w) \\ - \bar{N}_g \bar{\alpha} (\bar{F}_{\omega} \bar{\delta \Omega}_v + \bar{\Omega}_v \bar{\delta F}_w) + \bar{F}_{\delta \eta} (\bar{\Omega}_w \bar{\delta \Omega}_v + \bar{\Omega}_v \bar{\delta \Omega}_w) - \bar{F}_{\delta \omega} (\bar{\Omega}_w \bar{\delta \Omega}_e + \bar{\Omega}_e \bar{\delta \Omega}_w) \\ - \bar{F}_{\delta \omega} (\bar{\Omega}_v \bar{\delta \Omega}_e + \bar{\Omega}_e \bar{\delta \Omega}_v) + \bar{G} \bar{M} \bar{\Omega}_e \bar{\delta F}_e] dL \quad \dots \dots \dots \quad (3)$$

$$\text{since } \bar{G} = G/E, \quad \bar{F}_w = d\bar{W}/dL - \bar{\Phi}_g \bar{U}, \quad \bar{\Omega}_u = d\bar{\Psi}_y/dL - \bar{\Phi}_y \bar{U}, \quad \bar{\Omega}_v = d\bar{\Psi}_y/dL + \bar{\Phi}_y \bar{U} - \bar{\Phi}_g \bar{\Omega}_a,$$

$$\bar{Q}_\theta = d\bar{P}_\theta/dL, \quad \bar{P}_u = d\bar{U}/dL - \bar{\Psi}_3 \bar{V} + \bar{\Psi}_7 \bar{W}, \quad \bar{P}_v = d\bar{V}/dL + \bar{\Psi}_7 \bar{U}, \quad \bar{P}_\phi = d\bar{\Theta}/dL + \bar{\Theta} \bar{\Psi}_7 \bar{P}_u \quad \dots \quad (4)$$

であり、また(3)式中の各断面定数は次の定義による。

$$\bar{x} = \frac{1}{A} \left(\int x dA \right), \quad \bar{y} = \frac{1}{A} \left(\int y dA \right), \quad \bar{r} = \sqrt{\bar{x}^2 + \bar{y}^2}$$

$$\bar{R}_S = \frac{1}{\alpha^2} \int_A \frac{1}{N^{\frac{2}{3}}} dA, \quad \bar{R}_{Sw} = \frac{1}{\alpha^2} \int_A \frac{s_w}{N^{\frac{2}{3}}} dA, \quad \bar{R}_{qw} = \frac{1}{\alpha^2} \int_A \frac{q_w}{N^{\frac{2}{3}}} dA.$$

$$M = \frac{1}{\alpha^4} \int_A \frac{1}{\sqrt{g}} \left[\left(-\eta + g \frac{\partial}{\partial \xi} \left(\frac{\omega}{\sqrt{g}} \right) \right)^2 + \left(\xi + g \frac{\partial}{\partial \eta} \left(\frac{\omega}{\sqrt{g}} \right) \right)^2 \right] dA, \quad \sqrt{g} = -\alpha \eta \xi \omega \quad (\omega \text{ は 図心に 関する そり 関数})$$

(4)式に(1)式を代入し、(2)式の関係を用いると、 $\bar{\nu}_w, \bar{\nu}_u, \bar{\nu}_v, \bar{\nu}_\theta, \bar{\nu}_0$ が節点変位で

$$\bar{P}_w = \mathbb{L}^T G_1 H / U, \quad \bar{\Omega}_u = \mathbb{L}^T G_2 H / U, \quad \bar{\Omega}_v = \mathbb{L}^T G_3 H / U, \quad \bar{\Omega}_\theta = \mathbb{L}^T G_4 H / U$$

ここに、 $\mathcal{U} = \{I, L, L^2, L^3\}^T$ 、 \mathbb{G}_i ($i=1, \dots, 5$) は (4×4) のマトリ

と(3)式に代入し、 L に関して積分すると次の剛性方程式が得られる。

K は立体曲線はり要素の剛性マトリックスで、次式で表わされる。

$$K = H^T \left(\bar{T}_A^T A G_1 + \bar{R}_5^T G_2^T A G_2 + \bar{R}_7^T G_3^T A G_3 + \bar{R}_9^T G_4^T A G_4 - \bar{R}_{10}^T (G_1^T A G_2 + G_2^T A G_1) - \bar{R}_{12}^T (G_2^T A G_3 + G_3^T A G_2) + \bar{R}_{13}^T (G_3^T A G_4 + G_4^T A G_3) - \bar{R}_{15}^T (G_4^T A G_5 + G_5^T A G_4) + GM_{\alpha^2} G_5^T A G_5 \right) H \quad (7)$$

ここで、 $A = \int_0^L L^T dL$ である。

自由振動問題での節点力 F は、 F のたゞ仮想仕事が分布慣性力がなす仮想仕事に等しいとの仮定より求まる。

$$\delta U/F = -\frac{MA^2}{E\alpha^4} r^2 \int_0^L \delta X E \frac{\partial X}{\partial T^2} dL = -\lambda^2 \int_0^L \delta X E \frac{\partial^2 X}{\partial T^2} dL \quad (8)$$

ここで、 $X = \{\bar{x}, \bar{v}, \bar{\theta}, \bar{w}\}^T$ 。 T はたとえば円振動数、 t は時間、 E は次に示すマトリックス

$$E = \begin{bmatrix} 1 & 0 & \bar{\alpha} \frac{\partial}{\partial T} & 0 \\ 0 & 1 & -\bar{\alpha} \frac{\partial^2}{\partial T^2} & 0 \\ \bar{\alpha} \frac{\partial}{\partial T} & -\bar{\alpha} \frac{\partial^2}{\partial T^2} & \frac{1}{A} (\bar{I}_s + \bar{I}_q - \bar{B} \bar{I}_q) & 0 \\ 0 & 0 & 0 & 1 \end{bmatrix} \quad \bar{A} = \frac{1}{\alpha^2} \int_A dA, \quad \bar{I}_s = \frac{1}{\alpha^2} \int_A \bar{s}^2 dA, \quad \bar{I}_q = \frac{1}{\alpha^2} \int_A \bar{s}^2 dA$$

$$\bar{I}_{sq} = \frac{1}{\alpha^2} \int_A \bar{s} \bar{q} dA, \quad \bar{B} = \frac{1}{\alpha^2} \int_A \bar{s} (\bar{s}^2 + \bar{q}^2) dA \quad (9)$$

X に(1)式を代入し(2)式を用いると、 X が節点変位で表わされる。

$$X = BA = BHU \quad (10)$$

(6)式を(3)式に代入すると、等価節点力が求まる。

$$F = -\lambda^2 H^T \left(\int_0^L B^T E B dL \right) H = -\lambda^2 M \frac{\partial^2 U}{\partial T^2} \quad (11)$$

ここで、 $M = H^T \left(\int_0^L B^T E B dL \right) H$ は質量マトリックスである。

$U = U_0 \sin T$ として(6), (11)式を用いると、立体曲線はり要素に関する振動方程式が求まる。

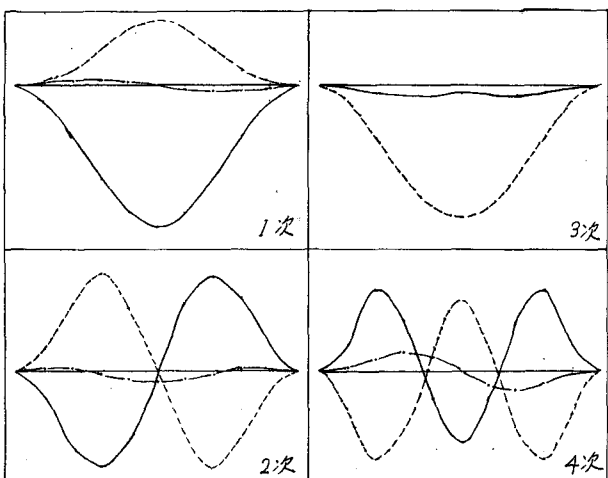
$$(K - \lambda^2 M) U_0 = 0 \quad (12)$$

3. 数値解析例 図1に示すような断面を有し、中心角90°、 $R = 500\text{ mm}$ 、ピッチ角20°の両端固定せんはりの振動解析を行なう。はりを10要素に等分割して得られた振動固有値を表に示す。比較のためにガルキン法にて解析した結果も示す。両者の差は約±2%であり、ここで示した剛性マトリックス、質量マトリックスを用いると良好な結果が得られることがわかる。

また図2は振動波形の一例である。

図2

— θ
--- v
— x



表：振動固有値 $\lambda = \sqrt{\frac{MA^2}{E\alpha^4}} \gamma$			
次数	F.E.M	ガルキン法	差(%)
1	1.0787	1.0696	+0.9
2	2.7205	2.6853	+1.3
3	3.7191	3.7436	-0.7
4	5.4165	5.3292	+1.6
5	5.8271	5.8975	-1.2
6		8.6009	
7		8.7483	
8	9.4525	9.2977	+1.7
9	9.6318	9.6975	-0.7
10	14.176	14.334	-1.1

文献 1) 築地・神代・山下、薄肉断面を有するせんはりの振動、第29回応力連合講演会講演集 昭49

2) 築地・初期曲率、わじれ率を有する薄肉断面曲線せんはりの基礎方程式、土木学会論文報告集 230号